

# Autovaleores del Laplaciano: aplicaciones en física.

Gonzalo Gutiérrez\* & J.M. Yam

\* Departamento de Física,

Facultad de Ciencias

Universidad de Chile

## Planteamiento del Problema

Dada la ecuación de autovalores

$$-\Delta u = \lambda u \quad \text{definida en } \Omega$$

con condiciones de frontera en  $\partial\Omega$

$$\left\{ \begin{array}{ll} u = 0 & : \text{Dirichlet} \\ \frac{\partial u}{\partial n} = 0 & : \text{Neumann} \\ \frac{\partial u}{\partial n} + g_1 u = 0 & : \text{Robin} \end{array} \right.$$

interesa conocer:

- i) el número de autovalores  $N(\lambda)$  menores que  $\lambda$
- ii) como este número  $N(\lambda)$  depende de la forma del dominio  $\Omega$ .

La ecuación  $-\Delta u = \lambda u$  es muy importante en física:

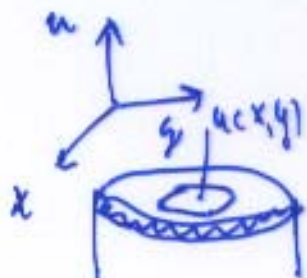
a) Ecuación de Ondas para membrana vibrante:

$u(x,y,t)$ : desplazamiento del punto  $(x,y)$  en el tiempo  $t$

$u$  obedece  $\Delta u - \frac{1}{c^2} \frac{\partial^2 u}{\partial t^2} = 0$ .

Buscamos soluciones del tipo  $u(\vec{x},t) = e^{i\omega t} v(\vec{x})$ ;

$\Rightarrow v$  cumple con  $-\Delta v = \lambda v$ , con  $\lambda = \left(\frac{\omega}{c}\right)^2$



si los bordes están fijos, tenemos cond. bdrde Dirichlet,

$$v|_{\text{borte}} = 0.$$

## b) Ecación de Schrödinger:

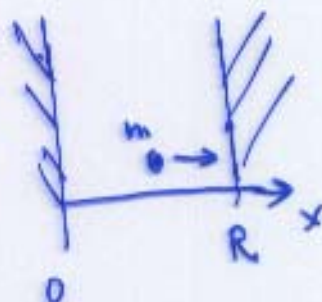
$$\rightarrow \left[ -\frac{\hbar^2}{2m} \Delta + V(\vec{r}) \right] \Psi(\vec{r}) = E \Psi(\vec{r})$$

: movimiento de una partícula de masa  $m$  (electrón) en el potencial  $V(\vec{r})$ .

Si la partícula está confinada en un potencial del

tipo

$$V(\vec{r}) = \begin{cases} 0 & \text{si } |\vec{r}| < R \\ \infty & \text{si } |\vec{r}| \geq R \end{cases}$$



entonces se tiene que el problema anterior se reduce

$$\text{a} \quad -\Delta \Psi = E \Psi \quad \text{con } \Psi|_{\text{borde}} = 0$$

La solución  $\{\Psi_n, E_n\}$  da los autoestados y las energías permitidas, respectivamente.

$$\rightarrow \text{En general, no solo interesa conocer } N(\lambda) : \text{densidad de estados integrada}$$

sino también  $\Phi(\lambda) = \frac{dN(\lambda)}{d\lambda}$  : # de estados entre  $\lambda$ ,  $\lambda+d\lambda$

c) Ondas de presión en una pieza cerrada  
 ("cavidad resonante")

$$\Delta\phi = \frac{1}{v^2} \frac{\partial^2 \phi}{\partial t^2} = 0 \quad \text{con } \phi: \text{presión}$$

densidad  
particular.

- Separando variables, obtenemos

$$-\Delta\phi = \lambda\phi \quad \text{con } \lambda = \frac{\omega^2}{v^2}$$

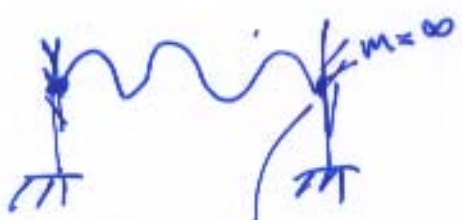
$$\gamma \left. \frac{\partial \phi}{\partial n} \right|_{\text{borda}} = 0 \quad : \text{Neumann.}$$

- Supongamos que la pieza tiene cortinas (impedancia). Entonces

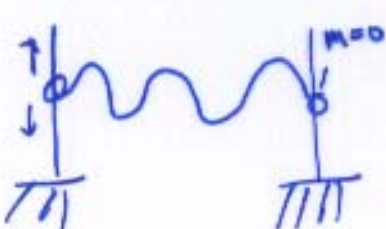
$$\left. \frac{\partial \phi}{\partial n} \right|_{\text{borda}} \text{ no es exactamente cero, sino que} \quad : \text{Robin}$$

$$\left. \frac{\partial \phi}{\partial n} \right|_{\text{borda}} = -\gamma \phi \quad : \text{Robin}$$

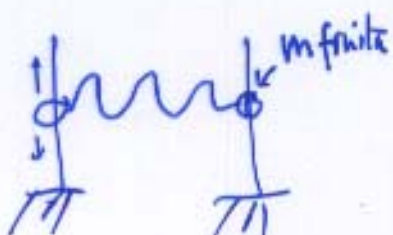
- Se entiende mejor en una cuerda.



Dirichlet.  $\phi|_0 = 0$ .



Neumann.  $\frac{\partial \phi}{\partial n}|_1 = 0$



$\phi|_1 + r \frac{\partial \phi}{\partial n}|_1 = 0$

N.B.: Dada la Ec. Helmholtz

$$\begin{cases} \Delta\phi + \lambda\phi = 0 \\ \text{cond. borde: } \frac{D}{N} \\ \frac{R}{N} \end{cases} \quad \text{se obtiene} \quad \left\{ \begin{array}{l} \phi_n \\ \lambda_n \end{array} \right\}$$

→ Tanto  $\phi_n$  como  $\lambda_n$  dependen de el tipo cond. borde  
y forma del borde.

O sea: Dado un tipo de cond. de borde

Forma del borde (prop. geométricas: V, S, L, etc.)	$\longleftrightarrow$	Determinan únicamente $\{\phi_n, \lambda_n\}$
---	-----------------------	--

¿Se puede escuchar la forma de un tambor?

$$\text{Ec. Ondas: } \nabla^2 \varphi(r) + \lambda \varphi(r) = 0 \quad \varphi(r)|_{\text{bord}} = 0$$



- Depende la distribución de tonos (autovalores  $\lambda$ ) de la forma del tambor (condición de borde: forma del borde)?
- Cómo se distribuyen los autovalores, dependiendo de la forma del borde
- Conociendo los autovalores, puedo saber la forma del tambor? ¿Cuántos autovalores necesito como mínimo?

$$\text{Weyl (1911)} \quad N(\lambda) \approx \frac{V}{6\pi^2} \lambda^{3/2}, \quad \frac{dN(\lambda)}{d\lambda} = D(\lambda) = \frac{V}{4\pi^2} \lambda^{1/2}$$

$\lambda \rightarrow \infty$

Estudiar lo anterior es equivalente a estudiar la suma

$$S(t) = \sum_{n=1}^{\infty} e^{-\lambda_n t} \quad \text{para } t \rightarrow 0.$$

En 2-dim:

$$\text{Reyel (1954)} \quad S(t) \approx \frac{A}{4\pi t} - \frac{L}{4} \sqrt{\frac{1}{4\pi t}}$$

+ término exterior  
+ término interior

$$\text{KAC (1966)} : S(t) \approx \frac{A}{4\pi t} - \frac{L}{4} \sqrt{\frac{1}{4\pi t}} + \sum_{i=1}^n \frac{\pi^2 - \theta_i^2}{24\pi n} \leftarrow \begin{cases} \text{borde poligonal.} \\ \diamond \end{cases}$$

$$+ \frac{1}{6}(1-\tau) \leftarrow \begin{cases} \text{borde circular.} \\ \text{circular.} \end{cases}$$

Error en fórmula: dominio poligonal:  $\Theta(t, \exp)$

dominio suave:  $\Theta(t^\alpha)$

En 3-dim:

$$\text{Naiederer (1972): } S(t) \cong \frac{V}{(4\pi t)^{1/2}} + \frac{A}{16\pi t} + \frac{M}{6\pi(4\pi t)^{1/2}} + \frac{J}{512\pi} + \dots \text{ Neumann.}$$

donde  $M = \int_S \frac{1}{2}(K_1 + K_2) ds$ ,  $K_1, K_2$  curvaturas pples de S.

$$\text{Ejemplo. } K_i = K_2 = \frac{1}{R}$$

$$J = \int_S (K_1 - K_2)^2 ds, \quad M = \int_0^R \frac{1}{2} \left(\frac{2}{R}\right) 2 \cdot 4\pi R dR$$

	V	A	M	J
	$a_1 a_2 a_3$	$2(a_1 a_2 + a_1 a_3 + a_2 a_3)$	$\frac{3}{2} \pi (a_1 + a_2 + a_3)$	$-64\pi$
	$\pi r^2 l$	$2\pi r(r+l)$	$\frac{\pi}{2} (2l + 3\pi r)$	$2\pi \left(\frac{l}{r} - \frac{64}{3}\right)$
	$\frac{4}{3} \pi R^3$	$4\pi R^2$	$8\pi R$	0

- Densidad de Estados: a partir de lo anterior (y tb. en forma independiente)  
Balian & Bloch

Se puede obtener la densidad de estados  $D(\lambda)$

$$D(\lambda) \cong \frac{V}{4\pi^2} \lambda^{1/2} + \frac{A}{16\pi} + \frac{J}{12\pi^2} \lambda^{1/2} + \dots \text{ para } \lambda \rightarrow \infty.$$

M.B.: Esta es la forma útil en la mayoría de los casos, por ejemplo para gas ideal cuántico:

$$\ln Z^r = \pm g_0 \int_0^\infty \ln[1 \pm e^{-\beta(E-\mu)}] D(E) dE$$

FD  
DE

Amer. Math. Monthly, 73, 1-23 (1966)

CAN ONE HEAR THE SHAPE OF A DRUM?

MARK KAC, The Rockefeller University, New York

To George Eugene Uhlenbeck on the occasion of his sixty-fifth birthday

On Hearing the Shape of a Drum

J. Comb. Th. I (1966)

MICHAEL E. FISHER

Wheatstone Physics Laboratory, King's College,  
London, W.C. 2, England \*

Communicated by George Uhlenbeck

Proc. Camb. Phil. Soc. (1972), 72, 439  
PCPB 73-43  
Printed in Great Britain

On hearing the shape of a drum: an extension to  
higher dimensions

BY R. T. WAECHTER\*

Department of Mathematics, University College London,  
Gower Street, London, W.C. 1

Hearing the shape of a general doubly connected domain in  $R^3$   
with impedance boundary conditions

E. M. E. Zayed\*

Mathematics Department, Zagazig University, Faculty of Science, Zagazig, Egypt

(Received 28 November 1989; accepted for publication 23 May 1990)

The basic problem in this paper is that of determining the geometry of a general doubly connected domain in  $R^3$  together with an impedance condition on its inner bounding surface and another impedance condition on its outer bounding surface, from the complete knowledge of the eigenvalues  $\{\lambda_n\}_{n=1}^\infty$  for the three-dimensional Laplacian using the asymptotic expansion

VOLUME 66, NUMBER 12

PHYSICAL REVIEW LETTERS

25 MARCH 1991

Can One "Hear" the Thermodynamics of a (Rough) Colloid?

Bertrand Duplantier

Service de Physique Théorique de Saclay, F-91191 Gif-sur-Yvette CEDEX, France

Drums That Sound the Same

S. J. Chapman

VOLUME 72, NUMBER 14

PHYSICAL REVIEW LETTERS

4 APRIL 1994

Experiments on Not "Hearing the Shape" of Drums

S. Sridhar and A. Kudrolli

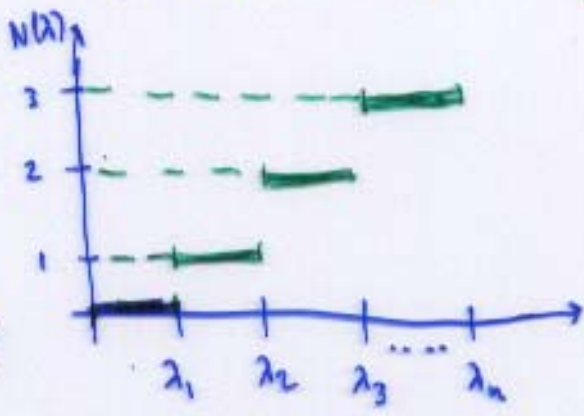
Department of Physics, Northeastern University, Boston, Massachusetts 02115

▷ Un punto clave es notar que es equivalente el estudio de  $N(x)$  o el de la serie  $S(t) = \sum_{n=0}^{\infty} e^{-\lambda_n t}$

Se pueden ah

- Necesitamos calcular  $N(\lambda)$  para  $\nabla^2 q = \lambda q$  con  $\frac{q}{2\pi} = 0$

$$N(\lambda) = \sum_{\lambda_n < \lambda} 1$$



$$N(\lambda) = \int_{-\infty}^{\lambda} \sum_n g(\lambda - \lambda_n) d\lambda^n$$

$$\text{Hammerer } \sum_n S(\lambda - \lambda_n) = D(\lambda) \quad : \text{dennitid de stady} : D(\lambda) = \frac{dN(\lambda)}{d\lambda}$$

O sea, si conocen  $D(\lambda)$ , integrando con respecto al ordenamiento

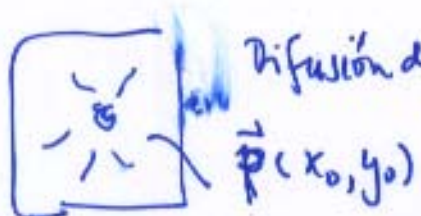
$$N(\lambda) = \int_{-\infty}^{\lambda} D(\lambda') d\lambda'$$

Tomemos la transformada de Laplace de  $\delta(t)$ :

$$S(t) = \int_{-\infty}^t B(\tau) e^{-\lambda t} d\tau$$

$$= \int_0^\infty \left[ \sum_n \delta(\lambda - \lambda_n) \right] e^{-\lambda t} d\lambda = \sum_n e^{-\lambda_n t} //$$

## Análisis de Kac.



Difusión de una gota de tinta, concentrada inicialmente ( $t=0$ )

► Concentración:  $P_{\text{D}}(\vec{p}|\vec{n}, t)$  obedece al la ec.

$$\frac{\partial P_{\text{D}}}{\partial t} = D P_{\text{D}} \quad \text{Ecuación de difusión}$$

con cond. borde  $P_{\text{D}}(\vec{p}|\vec{n}, t) \rightarrow 0$  cuando  $\vec{n} \rightarrow \vec{a}$ ,  $a \in \partial\Omega$ .

cond. inicial  $P_{\text{D}}(\vec{p}|\vec{n}, 0) \rightarrow \delta(\vec{n} - \vec{p})$  cuando  $t \rightarrow 0$

►  $P_{\text{D}}(\vec{p}|\vec{n}, t)$  se puede expresar en términos de los autovalores y autofunciones del problema  $\Delta\phi + \lambda\phi = 0$  con  $\phi|_{\partial\Omega} = 0$ .

$$P_{\text{D}}(\vec{p}|\vec{n}, t) = \sum_{n=1}^{\infty} e^{-\lambda_n t} \phi_n(\vec{p}) \phi_n(\vec{n})$$

► Para  $t$  pequeñas, la difusión es clara, y por tanto la gota "no siente"

los efectos del borde  $\partial\Omega$ .  $\Rightarrow P_{\text{D}}(\vec{p}|\vec{n}, t) \sim P_0(\vec{p}|\vec{n}, t)$

donde  $P_0(\vec{p}|\vec{n}, t) = \frac{1}{4\pi t} e^{-\frac{|\vec{n}-\vec{p}|^2}{4t}}$  : Kernel para ec. de difusión en el espacio infinito.

$\therefore$  para  $t \rightarrow 0$

$$P_{\text{D}} = \left[ \sum_{\vec{p}=\vec{n}} e^{-\lambda_n t} \phi_n(\vec{p}) \phi_n(\vec{n}) \right] \approx \sum_{n=1}^{\infty} e^{-\lambda_n t} \phi_n^2(\vec{n}) \sim \frac{1}{4\pi t}$$

$$\left( \sum_{n=1}^{\infty} e^{-\lambda_n t} \phi_n^2(\vec{n}) d\vec{n} \right) \sim \left( \int \frac{1}{4\pi t} d\vec{n} \right) \sim |\Omega|$$

En general:

Bordes suaves en D dimensiones:

$$S(t) = \frac{1}{(4\pi t)^{D/2}} \sum_{i=0}^k a_i t^{i/2} + g(t^{(k-D+1)/2})$$

↓  
los primeros 5  $a_i$  son conocidos.

1992 C.Gordon, D.L.Wells & S.Wolpert demostraron que existen dominios isospectrales, y mostraron uno en 2-dim.

1994 S.Sridhar & A.Kundralli lo probaron experimentalmente.

▷ Ejemplo de como obtener  $S(t)$  en el caso de caja de lados  $a_1, a_2, a_3$

$$\begin{aligned} S(t) &= \sum_{n=1}^{\infty} e^{-2\pi n t} = \prod_{i=1}^3 \sum_{n_i=1}^{\infty} e^{-\frac{\pi^2 n_i^2 t}{a_i^2}} \\ &= \prod_{i=1}^3 \frac{1}{2} \left[ \Theta\left(\frac{\pi n t}{a_i}\right) - 1 \right] \end{aligned}$$

$$\text{Se sabe } \Theta(t) = \frac{1}{\sqrt{t}} \Theta\left(\frac{1}{t}\right)$$

función theta de Jacobi

$$\Rightarrow S(t) = \frac{1}{8} \prod_{i=1}^3 \sqrt{\frac{a_i}{\pi t}} \Theta\left(\frac{a_i^2}{\pi t}\right) - 1$$

$$\text{Como } \Theta\left(\frac{1}{x}\right) = 1 + 2 \sum_{k=1}^{\infty} e^{-\frac{k^2 \pi}{x}} \leq 1 + 2 \sum_{k=1}^{\infty} e^{-\frac{k \pi}{x}} = 1 + O(e^{-\pi/x})$$

Por tanto, reemplazando en  $S(t)$  queda

$$S(t) = \frac{a_1 a_2 a_3}{(4\pi t)^{3/2}} - \frac{2(a_1 a_2 + a_2 a_3 + a_1 a_3)}{16\pi t} + \frac{(a_1 + a_2 + a_3)}{4(4\pi t)^{1/2}} - \frac{1}{8} + \text{exp. des.}$$

# Comprobación Experimental.

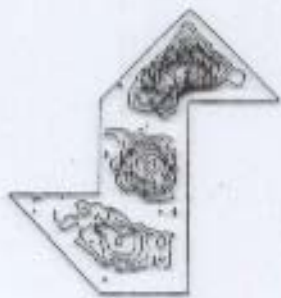
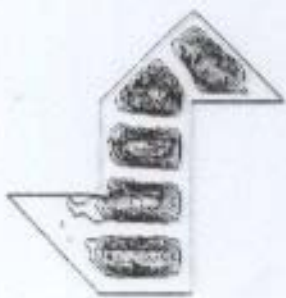
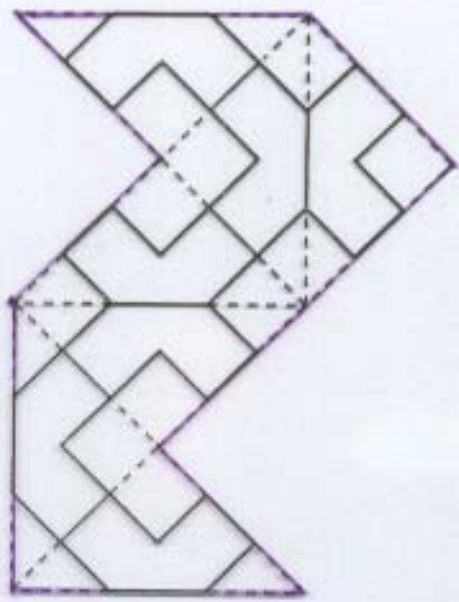
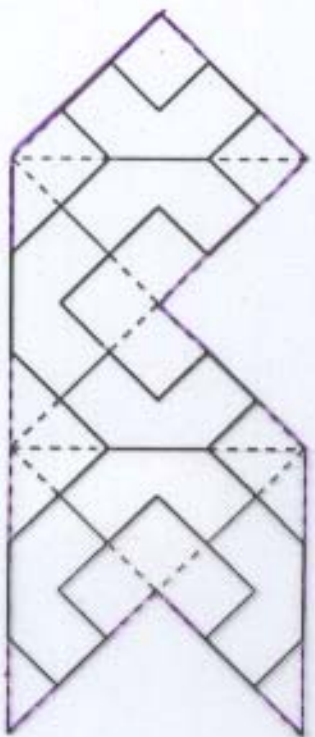
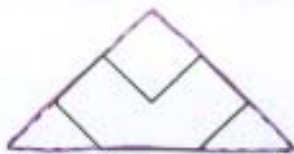
1 Experiments on Not "Hearing the shape" of Drums. PRL 73, 2175 (1994)

- Usan cavidades resonantes en microondas, muy delgadas,
- Verifican que los primeros 54  $\lambda_n$  son iguales con  $1/10^4$  de aproximación.

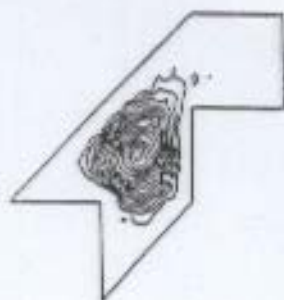
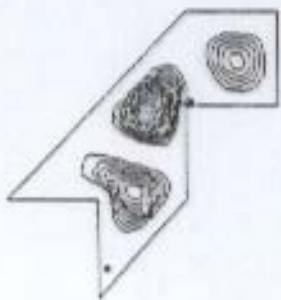
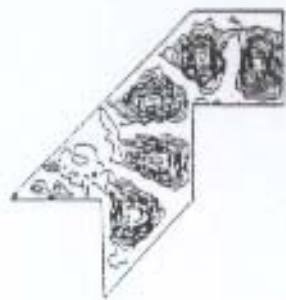
2 Tambores líquidos. Inv. y Cptiva, Sept. 1997  
PRL 76, 1655 (1996).

- Usan <sup>gelatinas de</sup> cristales líquidos, en las dos geometrías diferentes. Miden la amplitud y frecuencia de vibración en ambos y se corresponden bien.

3 ¿Por qué no hacerlo en un tambor "real"?



A



B

GAS IDEAL "CLÁSICO": (G.G & J.Y, Am.J.Phys.65 (1997))

$$\mathcal{H} = \sum_i \frac{\vec{p}_i^2}{2m} + V_{int} + V_{ext}$$

parde del recipiente.  
↓ = 0 : partículas no interactuantes  
≡ GAS IDEAL

GAS IDEAL → QUÁNTICO → fermiones  
"clásico" → bosones

$$Z = \prod_i \left(1 - e^{\beta(E_n - \mu)}\right)^{-1}$$

"clásico": debe cumplir la condición que

$$\lambda_{dB}^3 \left(\frac{N}{V}\right) \ll 1.$$

$$\lambda_{dB} = \frac{\hbar}{\sqrt{2mkT}} : \text{longitud onda de de Broglie.}$$

Ej: Argón gaseoso ~ 80°K  $\Rightarrow 1.6 \times 10^{-6}$   
300°K  $\sim 10^{-8}$

La condición se cumple para T alta, ( $T \rightarrow \infty, \beta \rightarrow 0$ ) o  $\beta > \frac{N}{V}$  bajas densidades.

Densidad estatal:  $Z = \sum_n e^{\beta E_n}$  : función partition de partículas.  
 $(Z = \frac{g^N}{N!})$

con  $E_n$ : autovalores del Lte. Schrödinger con condiciones bocas dirichlet:

$$\nabla^2 \Psi(\vec{r}) + \left(\frac{2m}{\hbar^2} E\right) \Psi(\vec{r}) = 0 \quad : \Psi(r) \Big|_{\text{bocas}} = 0.$$

- Dos posibilidades:
    - i Hacer la suma directamente ✓ (para  $\beta \rightarrow 0$ )
    - ii Calcular densidad de estados (para  $E \rightarrow \infty$ )
- Es equivalente!

1 Motivación: En las fórmulas de los textos, las propiedades termodinámicas no dependen de la forma del contenedor, sino sólo de su volumen.

Deducción usual para gas ideal clásico: (en una caja)

N partículas idénticas,  
de masa m, movidas  
en Volumen V a temp T

$$V = a_1 a_2 a_3$$

$$E_{n_1 n_2 n_3} = \frac{\hbar^2 \pi^2}{2m} \left[ \left( \frac{n_1}{a_1} \right)^2 + \left( \frac{n_2}{a_2} \right)^2 + \left( \frac{n_3}{a_3} \right)^2 \right]$$

$$Z = \left( \sum_{n=1}^{\infty} e^{-\frac{\hbar^2 \pi^2}{2ma^2} \beta n^2} \right)^3 \rightarrow \text{Esta suma la transformamos en integral, introduciendo la densidad de estados } D(E) \text{ de.}$$

i.e.

$$\sum_{\text{estados}} e^{-\beta E_n} \rightarrow \int_0^{\infty} D(E) e^{-\beta E} dE$$

donde  $D(E) = \left( \frac{V}{4\pi^2} \right) \cdot \left( \frac{2m}{\hbar^2} \right) E^{1/2}$

Si es posible hacerlo por el truco cuando  $V \rightarrow \infty$ , los estados están muy juntos (continuo).

Por tanto:

$$Z = \frac{1}{N!} \frac{V^N}{2^{3N}} \left[ \frac{2m}{\pi \hbar^2 \beta} \right]^{\frac{3N}{2}}$$

$$U = - \left( \frac{\partial \ln Z}{\partial \beta} \right)_{N,V} = \frac{3}{2} N k T$$

$$P = - k T \left( \frac{\partial \ln Z}{\partial V} \right)_{N,T} = \frac{N k T}{V}, \text{ etc. ...}$$

¿Depende de la forma del envase?  
Si, No, ¿Cómo?

## Gas ideal Clásico: Aplicación:

I: 2-dim:

$$Z(\beta) \approx \left( \frac{2m}{\hbar^2} \right) \frac{A}{4\pi\beta} - \left( \frac{2m}{\hbar^2} \right)^{1/2} \frac{L}{4(4\pi\beta)^{1/2}} + C$$

Energía interna U:  $\frac{U}{N} = - \frac{\partial \ln Z}{\partial \beta}$

$$C = \sum_{i=1}^n \frac{\pi^2 - \pi_i^2}{24\pi\beta_i}$$

Desarrollando en serie de potencias de  $\beta$  ( $\beta \ll 0$ ), se tiene

$$U(T) = Nk_B T \left[ 1 + \frac{1}{8} \frac{L}{A} \Lambda(T) - \left( C - \frac{1}{32} \frac{L^2}{A} \right) \frac{1}{A} \Lambda^2(T) + O(\Lambda^3) \right]$$

donde  $\Lambda(T) = \sqrt{\frac{2\pi\hbar^2}{mk_B T}}$  : longitud de onda térmica.

Ejemplo: Gas Argón,  $T \approx 300^\circ K$ ;  $d_{AB} \approx 0.045 \text{ \AA}$

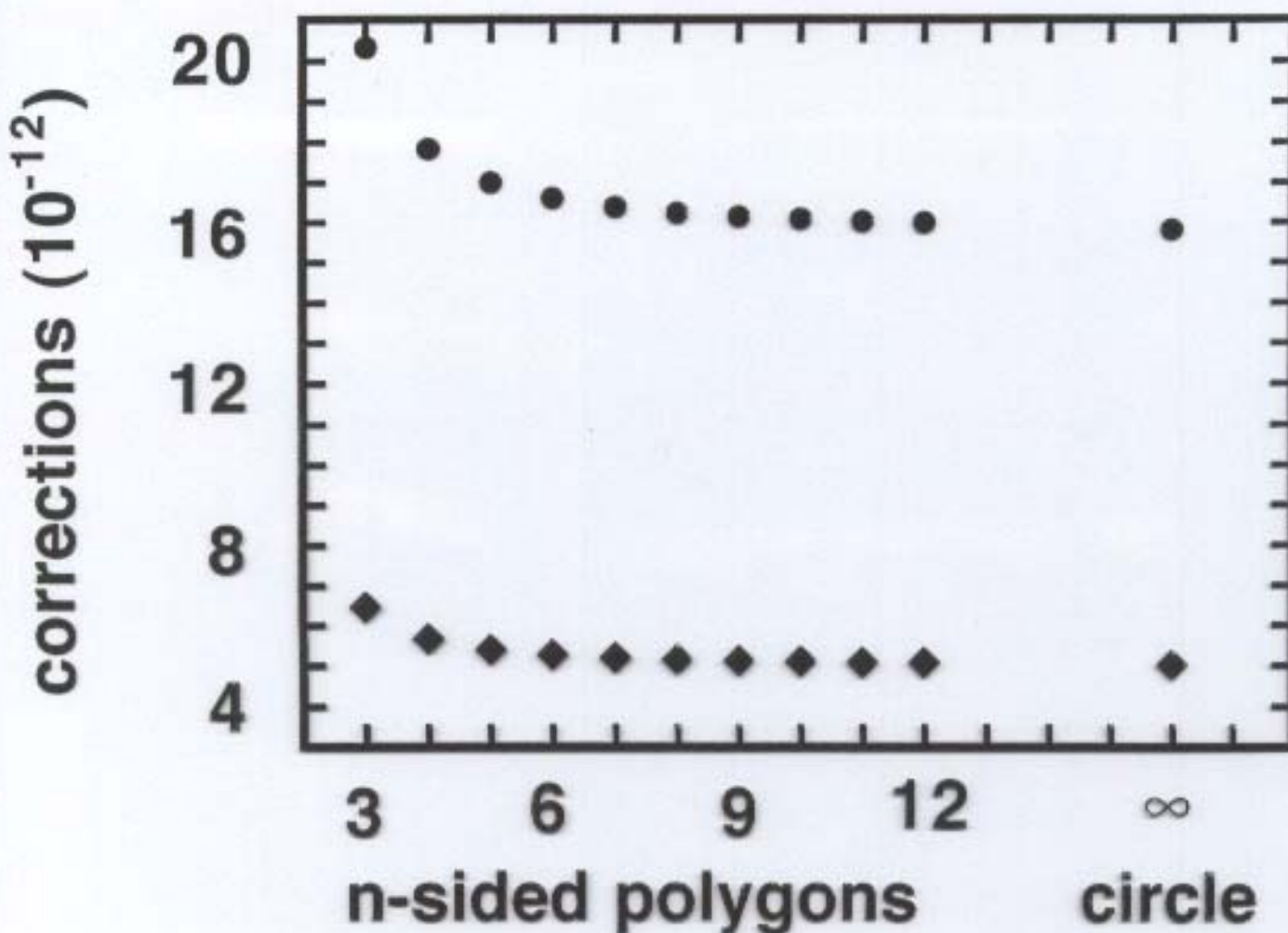
distancia interatómica  $\approx 30 \text{ \AA}$

Polygono regular  $C = \frac{1}{6} \frac{(n-1)}{(n-2)}$  n: # de lados.

$$\frac{L^2}{A} = 4n \operatorname{tg}\left(\frac{\pi}{n}\right)$$

Gas Argón en 2-dim : correccións a la enerxía  $U = Nk_B T \left[ 1 + \frac{1}{8} \frac{L}{A} \Lambda(T) + \dots \right]$

◆  $1 \text{ m}^2$   
●  $0.1 \text{ m}^2$



3-dim: Gas ideal clásico:

Función partition:

$$Z(\beta) \approx \left(\frac{2M}{\hbar^2}\right)^{3/2} \frac{V}{(4\pi\beta)^{3/2}} - \left(\frac{2M}{\hbar^2}\right) \frac{A}{16\pi\beta} + \frac{1}{6\pi} \sqrt{\frac{2M}{\hbar^2}} \frac{M}{(4\pi\beta)^{1/2}} + \frac{J}{512\pi}$$

Energía Interna:

$$U = \frac{3}{2} N k_B T \left[ 1 + \frac{1}{12} \frac{A}{V} \Lambda(T) - \frac{1}{6} \left( \frac{2}{3\pi} - \frac{1}{8} \frac{A^2}{MV} \right) \frac{M}{V} \Lambda^2(T) \right. \\ \left. - \frac{1}{8\pi} \left( \frac{J}{64} + \frac{1}{3} \frac{AM}{V} - \frac{\pi}{24} \frac{A^3}{V^2} \right) \frac{1}{V} \Lambda^3(T) + O(\Lambda^4(T)) \right]$$

Desigualdad Isoperimétrica de Minkowski:

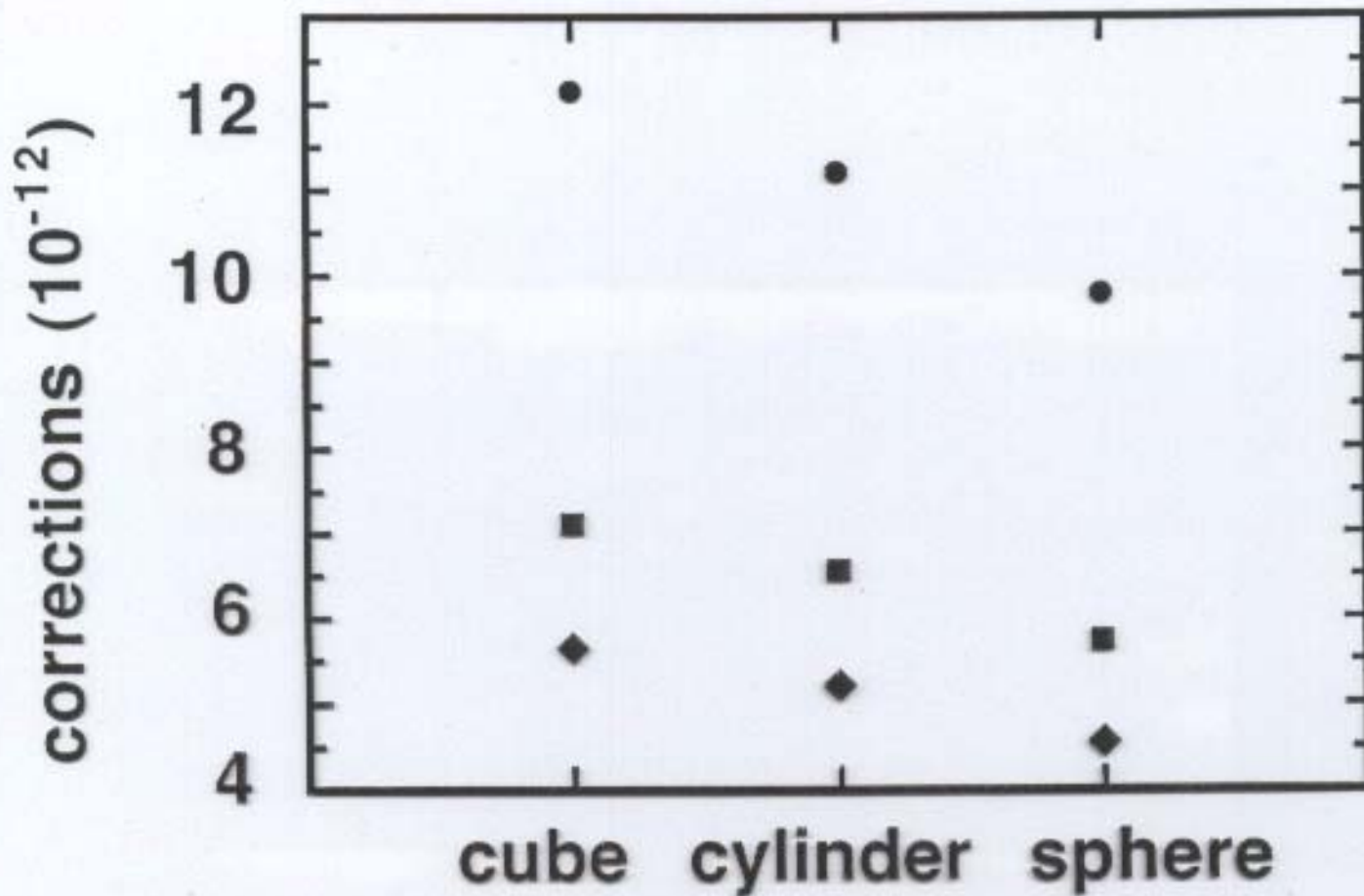
$$M^2 \geq 4\pi A^2 ; \quad A^2 \geq 3VM$$

1<sup>ra</sup> corrección mínima en caso de la esfera.

Ejemplo: Argon.

Gas Argón en 3-dim.: Correción ala energía  $U = \frac{3}{2} n k_{\text{B}} T \left[ 1 + \frac{1}{12} \frac{A}{V} \Lambda(\tau) + \dots \right]$

- $0.1 \text{ m}^3$
- $0.5 \text{ m}^3$
- ◆  $1 \text{ m}^3$



Gas Fuele the Shape of Its Container? by GONZALO MUÑOZ and J. VALENTE

# Aplicaciones y desarrollos recientes.

## 1 Resonadores acústicos.



La onda de presión  $p(\vec{r}, t)$  obedece la ec. ondas

$$\nabla^2 p - \frac{1}{C^2} \frac{\partial^2 p}{\partial t^2} = 0$$

Haciendo separación de variables,

llegamos a  $\nabla^2 p + (\frac{\omega}{c})^2 p = 0$  con  $\left. \frac{\partial p}{\partial n} \right|_{\partial \Omega} = 0$

i.e. Ecuación de Helmholtz con C.B. Neumann.

¿Se puede escuchar la forma de una catedral?

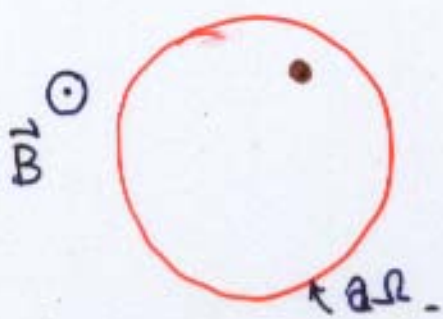
- Si no hay cortinas  $\rightarrow$  aplicación directa de las expansiones asintóticas
- Si hay cortinas  $\rightarrow$  las condiciones de borde cambian

a C.B. impedancia  $\Rightarrow$   
de Robin  $\left. \frac{\partial p}{\partial n} + g_n p \right|_{\partial \Omega} = 0$

En este caso existe fórmula : Zayed (2000) J. App. Math.

$$S(t) = \frac{|R|}{4\pi t} + \begin{cases} \frac{|R|}{8(\pi t)^{1/2}} + \left(1 + \frac{3\pi}{4} |R| \right) \frac{1}{6} & \text{si } n \ll 1 \\ \frac{|R| + 2\pi/g_1}{8(\pi t)^{1/2}} + \frac{1}{6} & \text{si } n \gg 1 \end{cases}$$

## 2. Billar circular en un campo magnético



$$\mathcal{H} = \frac{1}{2m} (\vec{p} - e\vec{A})^2$$

$$\left. \cos \varphi(r, \theta) \right|_{2R} = 0$$

Norevich et al (J.Phys.A:Math, 1999) encuentro la sol. expansión para  $S(t) = \text{tr}(e^{-\frac{t}{\hbar} H}) = \sum_{\{\text{estados}\}} e^{-\frac{E_n}{\hbar} t}$

$$S(t) \approx \frac{R^2}{4} \left( \frac{1}{\tau} - \frac{5}{24} + \frac{7\tau^3}{5760} - \frac{31\tau^5}{945 \times 2^{10}} \dots \right)$$

$$- \frac{\sqrt{\pi} R}{4} \left( \frac{1}{\sqrt{\tau}} - \frac{3\tau^{1/2}}{64} + \dots \right)$$

$$\vec{A} = \frac{1}{2} \vec{B} \times \vec{R}$$

$$+ \frac{1}{6} ( )$$

$$R = \sqrt{\frac{2m\omega^2}{\hbar^2}}$$

$$+ \frac{\sqrt{\pi}}{2^7 \cdot R} ( )$$

$$\tau = t\omega$$

$$\omega = \frac{e |\vec{B}|}{mc}$$

Dado que  $S(t)$  es la func. partition en el ensemble canónico,  
 con  $t = \ln \beta$        $\beta = \frac{1}{k_B T}$ , se puede determinar, p.ej.  
 la susceptibilidad magnética  $\chi$  a tamaño finito:

Para: N partículas por unidad de área  $\sigma$

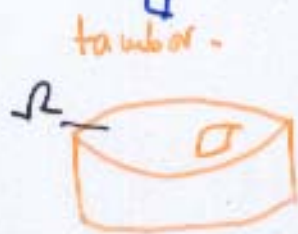
$$\lambda_T = \sqrt{\frac{\pi \hbar^2 \beta}{2m}} \ll \frac{1}{\sqrt{N}} \quad (\text{gas diluido} \Rightarrow \text{altas } T)$$

se tiene.

$$\frac{\chi}{\chi_{\infty}} = 1 - \left(\frac{\lambda_T}{a}\right) \frac{1}{8} - \left(\frac{\lambda_T}{a}\right)^2 \left(\frac{1}{8} - \frac{4}{24\pi}\right) - \left(\frac{\lambda_T}{a}\right)^3 \left(\frac{1}{8} - \frac{3048}{10752\pi}\right) \dots$$

con  $\chi_{\infty}$ : susceptibilidad de London (i.e., pleno infinito)

# Conjetura de Payne-Pólya-Weinberger



En un tambor, el cociente de los

2 primeros tonos,  $\frac{\lambda_2}{\lambda_1}$  es máximo.

para el caso del círculo.

O sea, dado un  $\Omega \subset \mathbb{R}^2$ , los primeros autovalores del problema de Helmholtz con cond. borde Dirichlet se cumple

que

$$\frac{\lambda_2}{\lambda_1} \leq \left| \frac{\lambda_2}{\lambda_1} \right| = \left( \frac{j_{1,1}}{\pi_{0,1}} \right)^2 \quad \begin{array}{l} \text{Conjetura} \\ \text{: P-P-W} \\ \text{1955.} \end{array}$$

$\Omega = \text{disco}$

Demontada por M. Ashbaugh y R. Benguria en 1991

Conjetura de Ashbaugh y Benguria. (para  $\Omega \subset \mathbb{R}^2$ )

En 1991 demuestran que  $\frac{\lambda_3}{\lambda_2} < \left( \frac{\lambda_{1,1}}{\pi_{0,1}} \right)^2$  : ( $\Omega \subset \mathbb{R}^2$ )

y conjeturan que para el problema de Neumann en  $\Omega \subset \mathbb{R}^d$

$$\frac{1}{\mu_1} + \frac{1}{\mu_2} + \dots + \frac{1}{\mu_d} \geq d \left( \frac{|\Omega|}{\pi_d} \right)^{\frac{2}{d}} \frac{1}{(\pi_{d/2,1})^2}$$

[  $\mu_{r,k}$ : k-ésimo cero de  $(x^{1-r} J_r(x))'$  ]

# ¿Puede un gas ideal sentir la forma de su envase?

Gonzalo Gutiérrez Depto de Física

Universidad de Santiago

Basado en : Greg Julio Yáñez , A.J.Phys., 65 (8), August 1997  
p. 739.

Plan:

1. Motivación : ➤ que es un gas ideal? Límite termodinámico.
2. Conexión con Mec. Estadística y Ecuación de Helmholtz  
➤ Gas ideal clásico:
  - cálculo de la función partición en 2D, 3D
  - cálculo de prop. termodinámicas en 2D, 3D.
3. Aplicaciones y desarrollos recientes.
4. Conclusiones .



## 2 Termodinámica en sistemas finitos:

Relación Fundamental:  $U = U(S, V, N)$

Sección Ad-Boc:  $U$  es función homogénea:  $U(\lambda S, \lambda V, \lambda N) = \lambda U(S, V, N)$

Se puede hablar de  $\bar{g} = \frac{N}{V}$  de

$$\delta W = -p dV : \text{cuenta en}$$

Sólo cambia el volumen, manteniéndose el área.

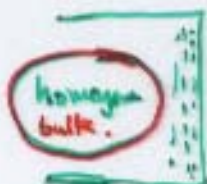
L ↳ si el sistema es espacialmente homogéneo:  
(sin efectos de superficie.) Entonces

$$p = p(\bar{g}, T) : \text{igual para todos los foros, } j \text{ tamaño.}$$

- O sea, se asume la existencia de un "Bulk límite"  $V \rightarrow \infty, \bar{g} = \frac{N}{V}$  fijo  
**no: "límite termodinámico"!**

Relaciones de Gibbs-Duhem sólo se cumplen en sist. homogéneos:  $dU = TS - pV + \mu N$

Sistemas finitos: Se pierde homogeneidad, en los bordes hay variaciones locales.



- Supongamos variaciones locales superficiales iguales en todo el sistema. Se esperaría que éstas contribuyan a las prop. termodinámicas en un término proporcional al área.

1<sup>a</sup> Suposición:

$$\delta W = -p \delta V + g \delta A$$

:  $g$  = tensión superficial entre fluido y pared sólida.

Contribución del trabajo del cambio de área sin cambio de volumen:

$$\text{Atí } U = U(S, V, A, N) \quad , \quad dU = T dS - p dV + g dA + \mu dN.$$

Consideremos el Potencial Gran Canónico  $\mathcal{L} = \mathcal{L}(T, V, A, \mu)$

$$dL = -sdt - pdV + gdA - Nd\mu$$

2<sup>da</sup> suposición:  $\bar{R}$  es la suma de funciones proporcionales al volumen y al área.

$$\text{Ans. } p = -\left(\frac{\partial \mathcal{L}}{\partial v}\right)_{T, A, \mu} = -\omega$$

$$\chi = \left( \frac{\partial \Omega}{\partial A} \right)_{T, V, \mu} = \omega^1$$

$$S = - \left( \frac{\partial \mathcal{E}}{\partial T} \right)_{V, A, \mu} = V \left( \frac{\partial P}{\partial T} \right)_\mu + A \left( - \frac{\partial g}{\partial T} \right)_\mu \equiv VS + AS'$$

$$N = -\left(\frac{\partial \ell}{\partial \mu}\right)_{T, V, A} = V\left(\frac{\partial P}{\partial \mu}\right)_T + A\left(\frac{\partial N}{\partial \mu}\right)_T = V\rho + A\varphi$$

$$dp = p d\mu + s dT \quad ; \quad -d\mu = p^* d\mu + s^* dT$$

$$q_{fb} \quad u = -p + TS + \rho \mu \rightarrow \text{energía interna del sistema}$$

$\mu' = \mu + T\zeta^i + \rho^i \mu \rightarrow$  energia interna de superfície.

→ P sea presión de burbuja, lejos de la superficie: supongamos constante V  
(sin cambiar la forma)

$$P_t = -\frac{\delta N}{\delta V} = P - \mu \frac{\delta A}{\delta V} ; \quad \frac{\delta A}{\delta V} = \frac{1}{R_1} + \frac{1}{R_2}$$

$$\therefore P_t = P - g \cdot \frac{1}{R} \quad \rightarrow \text{parametrized}$$

## Mecánica Estadística de sistemas finitos:

La relación entre una Relación Fundamental, las funciones de partición en diferentes ensueños son rigurosamente iguales para sistemas finitos:

$$\text{Energía libre Helmholtz } F = -kT \ln Z \quad : \text{ canónico. } F=F(T, V, N)$$

$$\text{Potencial Grandiónico } \Omega = -kT \ln Z^m$$

Propiedades del Bulk: Tomar  $V \rightarrow \infty$  con  $\rho = \frac{N}{V}$  fijo:

$$\lim_{V \rightarrow \infty} -\frac{kT}{V} \ln Z = -p + p\mu \quad (F = \rho V + \mu N)$$

$$\lim_{V \rightarrow \infty} -\frac{kT}{V} \ln Z^m = -\bar{p}^* \quad (\Omega = -\bar{p}^* V)$$

→ Una "espera" que el próximo término en la expansión sea proporcional al Área.

$$-kT \ln Z \sim (-p + p\mu)V + (m + p'\mu)A$$

$$-kT \ln Z^m \sim \bar{p}^* V + \bar{\mu}^* A$$

o Sea, dada la función partición podemos calcular los  $p, \mu$ , etc:

$$\mu = \left( \frac{\partial F}{\partial A} \right)_{T, V, N} = \left( \frac{\partial}{\partial A} (-kT \ln Z) \right)_{T, V, N}$$

$$\bar{\mu}^* = \left( \frac{\partial \Omega}{\partial A} \right)_{B, V, T} = \left( \frac{\partial}{\partial A} (-kT \ln Z^m) \right)_{\mu, V, T}$$

:

:

## 4. Conclusiones -

- 1 Se analizó la influencia de un contenedor finito en las cantidades termodinámicas del sistema.
  - 2 Se particularizó al caso del gas ideal clásico:
    - basados en conocimientos sencillos sobre las propiedades asintóticas del espacio del Laplaciano  $-\nabla^2$ , se calculó la Función partíción  $Z = Z(T, V, A, \text{otras...})$
  - 3 En principio, un gas ideal puede sentir algunos aspectos de la forma de su envase, pues las cantidades termodinámicas dependen de ellos: volumen, área, radio curvatura, etc.
  - 4 Un ejemplo práctico muestra que tales correciones son muy pequeñas (tal vez imposible de medir)  $\Rightarrow$  aproximación de "bulle" es buena.  
y experimentales
  - 5 De acuerdo a resultados teóricos recientes, es posible tener dominios isoespaciales: dos dominios que a pesar de tener diferente forma, tienen exactamente los mismo autovalores del  $-\nabla^2$ .
    - Si un gas ideal <sup>se pone</sup> dentro de estos dominios, entonces, aún teniendo todo los términos en el desarrollo de la función partíción, a partir solo de las propiedades termodinámicas no se puede distinguir la forma del envase.
- ⇒ ¿Puede un gas....?      SI
- ¿Puede distinguir entre dos envases?      En general NO

## SESION INVITADA 1: Física Matemática

COMCA 2004, 4 - 6 Agosto

Día	Hora	Autores	Universidad	Título
Mierc 4	15:00	Marco Corgini	ULS	Study of nonideal Bose Gases.
	15:30	Héctor Torres	ULS	Integral Representations for Gibbs Semigroups: Nonlinear Perturbations of the free Quantum oscillators and Bose-Einstein Condensation.
	16:00	Arturo Bernal	ULS	Gaussian Domination and Bose-Einstein Condensation : Diagonalizable Systems.
	16:30	Eduardo Notte	ULS	The Clifford Algebra of Multivectors over a Finite Dimensional Real Vector Space.
Juev 5	17:00	Antonio Moya	U. Antofagasta	Energy and Angular Momentum Extensor Fields for the Dirac Spinor Field.
	17:30	Gonzalo Gutierrez	UCHILE USACH	- Autovalores del Laplaciano : Resultados Recientes y Aplicaciones en Física.
	18:00	Victor Cortés	PUCRS	Time Life for Relative Bounded Perturbations.
	18:30	Rodrigo Pérez	PUCRS	Decaimiento Exponencial.

Arica, 2004.

## **Seminario**

**Grupo de Investigación en Análisis  
Funcional y Ecuaciones de Evolución**

**Dr. Gonzalo Gutiérrez**  
**Universidad de Chile**

**“Valores Espectrales del Laplaciano:  
Aplicaciones ”**

**Jueves 30 de Septiembre, 16:30 Horas, Sala 17 DMCC.**

*Universidad de Santiago de Chile.  
Facultad de Ciencia  
Departamento de Matemática y C.C.*